

Chapitre 3 : Analyse en Composantes Principales

M1 du Master MMAS

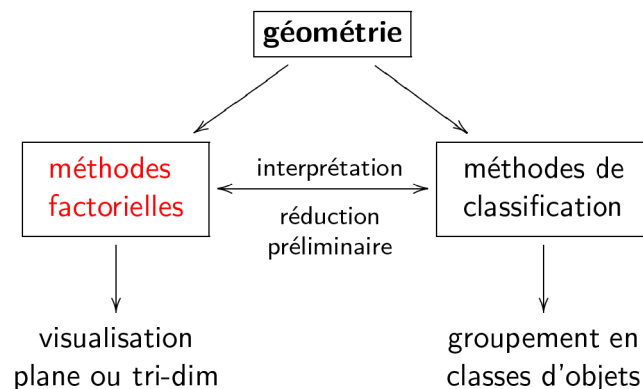
James Ledoux

Dépt de mathématiques, Univ. Poitiers

12 juillet 2009

85 / 164

Présenter, résumer, structurer les données



87 / 164

Introduction

Tableau rectangulaire : individus x variables

- lignes ($i = 1, \dots, n$) : représentent les n individus ou observations
- colonnes ($j = 1, \dots, p$) : représentent les p variables

- 1** p variables quantitatives : p mesures numériques pour chaque individu
- 2** p variables qualitatives : p modalités pour chaque individu

si $p = 2$: **table de contingence** croisant deux variables qualitatives

- lignes ($i = 1, \dots, n$) : représentent les n modalités d'une variable qualitative
- colonnes ($j = 1, \dots, p$) : représentent les p modalités d'une variable qualitative

- 3** Cas mixte

86 / 164

Cas de p variables quantitatives

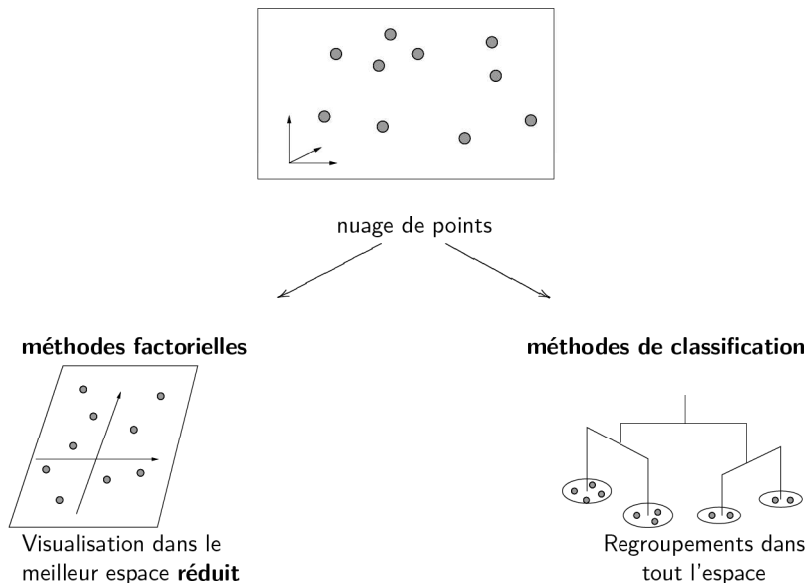
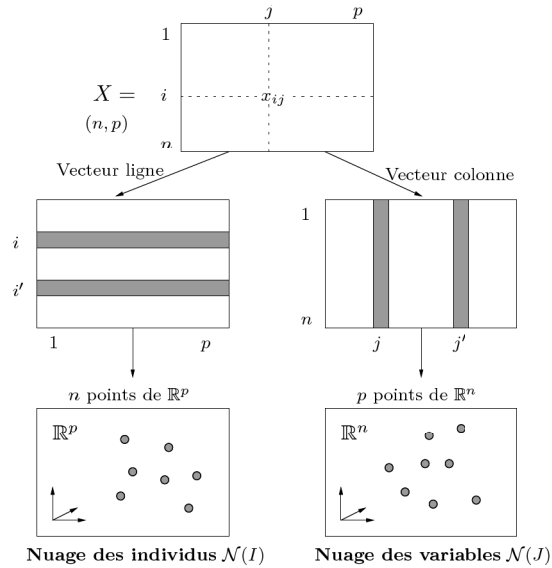
Tableau : n individus \times p variables

- **lignes** \equiv individus, objets, observations, ...
- **colonnes** \equiv variables quantitatives i.e. à valeurs numériques continues

	Denrées alimentaires							
	PAO	PAA	VIO	VIA	POT	LEC	RAI	PLP
AGRI	167	1	163	23	41	8	6	6
SAAG	162	2	141	12	40	12	4	15
PRIN	119	6	69	56	5	5	13	41
CSUP	87	11	63	111	27	3	18	39
CMOY	103	5	68	77	32	4	11	30
EMPL	111	4	72	66	34	6	10	28
OUVR	130	3	76	52	43	7	7	16
INAC	138	7	117	74	53	8	12	20

TABLE 5: Reprise de l'Exemple 9 : table des moyennes annuelles de consommation en frs pour 8 catégorie socio-professionnelles (CSP)

88 / 164



- Définir une distance entre points d'un même nuage :
 - distance entre individus,
 - distance entre variables
- Évaluer les proximités géométriques entre points-lignes et entre points-colonnes.
 - ➔ associations statistiques entre les individus
 - ➔ associations statistiques entre les variables

Analyser le tableau de distances associé à chaque nuage

Méthode factorielle

- **Objectif :**
Fournir des représentations synthétiques d'un grand ensemble de données
- **Entrées :**
Nuage de points et distance entre ces points
- **Sorties :**
En général, représentations graphiques planes

Méthodes factorielles

Techniques de réduction de l'espace de visualisation à une représentation plane respectant au mieux les proximités géométriques

Espaces factoriels

Sous-espaces de dimension 2 (ou 3) qui ajustent au mieux le nuage $\mathcal{N}(I)$ ou le nuage $\mathcal{N}(J)$.

Analyse en composantes principales (ACP)

- p variables X_j sont observées sur n individus I_i

$$p \gg 1 \quad n \gg p$$

- **Proximité entre individus** \equiv similitudes globales des grandeurs observées sur les individus

- **Proximité entre variables** \equiv corrélation

Objectifs

- ➔ Évaluer la ressemblance entre individus

↳ Typologie des individus

- ➔ Évaluer la liaison entre variables

Calcul d'un petit nombre de variables synthétiques résumant au mieux les liaisons affines entre les variables originales

↳ Composantes principales

93 / 164

- Dans toute la suite, poids de chaque individu : $p_i = \frac{1}{n}$

Si « l'individu » représente une classe d'individus

$$0 < p_i < 1 \quad \text{avec} \quad \sum_i p_i = 1$$

- Centre de gravité du nuage

$$OG = \sum_{i=1}^n \frac{1}{n} OI_i \quad \rightarrow \quad G = (\bar{X}_1, \dots, \bar{X}_p)$$

- On centre toujours le nuage $\mathcal{N}(I)$

– Géométriquement : $O \rightarrow G$ origine du nouveau nuage

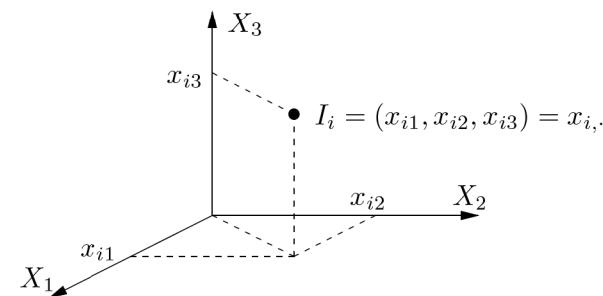
– Au niveau variable : Variable X_j \rightarrow $X_j - \bar{X}_j \mathbf{1}_n, j = 1, \dots, p$
 variables centrées

– Au niveau tableau des données

$$i = 1, \dots, n : \quad x_{ij} - \bar{X}_j \quad j = 1, \dots, p$$

– ne modifie pas la distance entre les individus

95 / 164



La variable X_j est identifiée à

- la colonne j du tableau de données X
- la « direction » N° j du repère orthonormé de $\mathcal{N}(I)$

- Mesure de ressemblance entre individus :

$$(23) \quad d_2(I_i, I_k)^2 = \|x_{i,\cdot} - x_{k,\cdot}\|_2^2 = \sum_{j=1}^p (x_{ij} - x_{kj})^2$$

Remarque : tendance à avantager les variables très dispersées

94 / 164

	Variables centrées : $Y_j := X_j - \bar{X}_j \mathbf{1}$							
	Y_1	Y_2	Y_3	Y_4	Y_5	Y_6	Y_7	Y_8
I_1 : AGRI	(39.9	-3.9	66.9	-35.9	6.6	1.4	-4.1	-18.4)
I_2 : SAAG	(34.9	-2.9	44.9	-46.9	5.6	5.4	-6.1	-9.4)
I_3 : PRIN	(-8.1	1.1	-27.1	-2.9	-29.4	-1.6	2.9	16.6)
I_4 : CSUP	(-40.1	6.1	-33.1	52.1	-7.4	-3.6	7.9	14.6)
I_5 : CMOY	(-24.1	0.1	-28.1	18.1	-29.4	-2.6	0.9	5.6)
I_6 : EMPL	(-16.1	-0.9	-24.1	7.1	-0.4	-0.6	-0.1	3.6)
I_7 : OUVR	(2.9	-1.9	-20.1	-6.9	8.6	0.4	-3.1	-8.4)
I_8 : INAC	(10.9	2.1	20.9	15.1	18.6	1.4	1.9	-4.4)
G	(0	0	0	0	0	0	0	0)
	(\bar{C}_1	\bar{C}_2	\bar{C}_3	\bar{C}_4	\bar{C}_5	\bar{C}_6	\bar{C}_7	\bar{C}_8)
Ecart-type	(26.1	2.98	36.29	29.29	13.32	2.64	4.17	11.46)

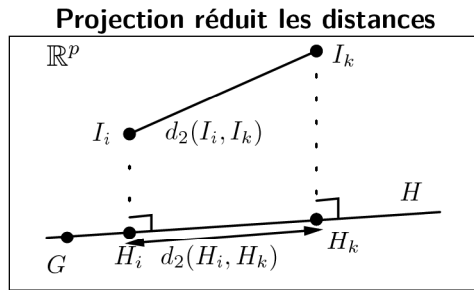
TABLE 6: Nuage centré des individus $\mathcal{N}(I)$ pour la Table 5

Ajuster le nuage des 8 individus par une droite, puis par un plan,
 ...
 représentant le plus fidèlement la proximité entre individus

96 / 164

- **Projection orthogonale** du nuage des individus sur un sous-espace H
- Nuage projeté devra restituer le plus fidèlement les distances (ou ressemblances) entre individus existant dans le nuage d'origine

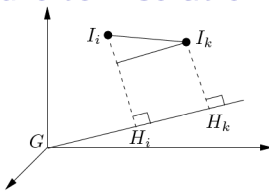
Cas où H est une droite



Rechercher une droite H qui maximise :

$$H \mapsto \sum_{i=1}^n \sum_{k=1}^n d_2(H_i, H_k)^2$$

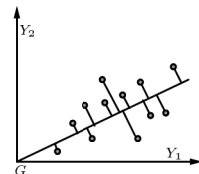
Interprétation de la droite « solution » : $G \equiv G_H \equiv O$



Pythagore :
$$\sum_i d_2(G, H_i)^2 = \sum_i d_2(G, I_i)^2 - \sum_i d_2(I_i, H_i)^2$$

$$\max \sum_i d_2(G, H_i)^2 \iff \min \sum_i d_2(I_i, H_i)^2$$

⇒ on recherche la **droite d'allongement maximum** du nuage



Remarque : noter la différence avec le critère utilisé pour la construction de la droite de régression

- **Simplification du problème** : on a la relation

$$\sum_{i=1}^n \sum_{k=1}^n d_2(H_i, H_k)^2 = 2n \sum_{i=1}^n d_2(H_i, G_H)^2$$

$$\iff \max_H \left(\sum_{i=1}^n \sum_{k=1}^n d_2(H_i, H_k)^2 \right) \iff \max_H \left(\sum_{i=1}^n d_2(G_H, H_i)^2 \right)$$

On dit alors que l'on **maximise l'inertie du nuage projeté sur la droite H**

Définition 18 (Inertie)

L'**inertie du nuage** est définie par

$$I(\mathcal{N}) = \sum_{i=1}^n \frac{1}{n} d_2(G, I_i)^2.$$

L'**inertie de la projection du nuage sur le sous-espace H** est définie par

$$I_H(\mathcal{N}) = \sum_{i=1}^n \frac{1}{n} d_2(G_H, H_i)^2$$

- **Ajustement du nuage $\mathcal{N}(I)$ par un sous-espace de dimension ≥ 2** :

- 1 La première droite comme précédemment
- 2 La seconde droite est choisie, **orthogonale à la première**, de manière à capturer la « seconde » direction d'allongement.
- 3 La troisième, **orthogonale aux deux premières**, est choisie de manière à capturer la « troisième » direction d'allongement
- 4 ...

Mise en oeuvre

■ Réduction des données

- Influence des unités de mesure sur les valeurs des distances
- Trop de disparité entre les écarts-type

⇒ en général, on réduit le tableau :

$$z_{ij} := \frac{x_{ij} - \bar{X}_j}{s_{X_j}} \quad \forall (i, j) \in I \times J$$

	Variables centrées-réduites							
	Z ^{PAO}	Z ^{PAA}	Z ^{VIO}	Z ^{VIA}	Z ^{POT}	Z ^{LEC}	Z ^{RAI}	Z ^{PLP}
AGRI	1,53	-1,30	1,84	-1,22	0,50	0,52	-0,99	-1,60
SAAG	1,34	-0,97	1,24	-1,60	0,42	2,03	-1,47	-0,82
PRIN	-0,31	0,38	-0,75	-0,10	-2,20	-0,61	0,69	1,45
CSUP	-1,54	2,06	-0,91	1,78	-0,55	-1,37	1,89	1,28
CMOY	-0,92	0,04	-0,78	0,62	-0,18	-0,99	0,21	0,49
EMPL	-0,62	-0,29	-0,66	0,24	-0,03	-0,24	-0,03	0,32
OUVR	0,11	-0,63	-0,55	-0,23	0,65	0,14	-0,75	-0,73
INAC	0,42	0,71	0,58	0,52	1,40	0,52	0,45	-0,38
G	0	0	0	0	0	0	0	0
Écart-type	1	1	1	1	1	1	1	1

TABLE 7: Nuage centré-réduit des individus $\mathcal{N}(I)$ pour Table 5

■ Pour une droite H , on vérifie que

$$(24) \quad I_H(\mathcal{N}) = u_1^\top \left[\frac{1}{n} Z^\top Z \right] u_1$$

où u_1 est un vecteur directeur unitaire de H

Déterminer une droite H tel que $I_H(\mathcal{N})$ soit maximale

$$\iff \text{déterminer le vecteur } u_1 \in \mathbb{R}^p \text{ unitaire} \\ \text{réalisant } \max u_1^\top \left[\frac{1}{n} Z^\top Z \right] u_1$$

■ Matrice des corrélations : $R = (\rho_{x_i, x_j})_{i, j=1}^p$

On peut vérifier que

$$\left[\frac{1}{n} Z^\top Z \right]_{ij} = \sum_{k=1}^n \frac{1}{n} \frac{(x_{ki} - \bar{X}_i)(x_{kj} - \bar{X}_j)}{s_{X_i} s_{X_j}} = \rho_{X_i, X_j} = R_{ij}$$

Remarque : Notons que si les variables sont seulement centrées,

$$\text{on a } I_H(\mathcal{N}) = u_1^\top \left[\frac{1}{n} Y^\top Y \right] u_1 = u_1^\top (s_{X_i, X_j})_{i, j=1}^p u_1$$

■ On travaille sur le tableau centré-réduit : $Z = (z_{ij})$:

ACP normée

■ On reprend la distance entre individus :

$$d_2(I_i, I_k)^2 = \sum_{j=1}^p (z_{ij} - z_{kj})^2$$

■ Ajustement par le sous-espace H :

$$\text{Espace } H \text{ réalisant } \max \left(\sum_{i=1}^n \frac{1}{n} d_2(G, H_i)^2 \right)$$

ou encore donnant l'inertie du nuage projeté maximale

	PAO	PAA	VIO	VIA	POT	LEC	RAI	PLP
PAO	1,00							
PAA	-0,77	1,00						
VIO	0,93	-0,6	1,00					
VIA	-0,91	0,9	-0,75	1,00				
POT	0,66	-0,33	0,52	-0,42	1,00			
LEC	0,89	-0,67	0,79	-0,84	0,6	1,00		
RAI	-0,83	0,96	-0,67	0,92	-0,41	-0,82	1,00	
PLP	-0,86	0,77	-0,83	0,72	-0,55	-0,75	0,83	1,00

TABLE 8: Matrice des corrélations pour la Table 5

■ R symétrique, semi-définie positive alors :

Théorème 3

- 1 \mathbb{R}^p admet une base orthonormée de vecteurs propres de R
- 2 Les valeurs propres de R sont positives $\lambda_1 \geq \lambda_2 \geq \dots \geq \lambda_p \geq 0$

Résolution du problème avec $\dim H = q$

Théorème 4

Le sous-espace $H^{(q)}$ de dimension $q \leq p$ de \mathbb{R}^p portant l'inertie maximale se calcule par

$$H^{(q-1)} \oplus H_q$$

où H_q est la droite orthogonale à $H^{(q-1)}$ portant l'inertie maximale.

Théorème 5

Le sous-espace $H^{(q)}$ ajustant au mieux le nuage est engendré par les q premiers vecteurs propres (orthonormés) de R correspondants aux q plus grandes valeurs propres

$$\lambda_1 \geq \lambda_2 \geq \dots \geq \lambda_q$$

105 / 164

Rappel : le centre de gravité $G = (\bar{X}_1, \bar{X}_2, \dots, \bar{X}_p)$

↪ un pseudo-individu possédant des caractéristiques moyennes / à l'ensemble des variables

■ Le premier axe factoriel u_1 capture la **principale direction d'allongement** du nuage des individus

- 1 les individus caractéristiques de cette direction sont les plus loin du centre de gravité
↪ individus « hors-normes » / certaines variables
- 2 les individus proches en projection sur cet axe devraient être proches dans le nuage original
↪ individus ressemblants / certaines variables

107 / 164

Axes factoriels

$$R \begin{matrix} \left[\begin{array}{ccccccc} u_1 & u_2 & \dots & u_l & \dots & u_p \\ \downarrow & \downarrow & & \downarrow & & \downarrow \\ \lambda_1 & \geq & \lambda_2 & \geq & \dots & \geq & \lambda_l & \geq & \dots & \geq & \lambda_p \end{array} \right. \end{matrix}$$

- L'axe factoriel de rang l du nuage des individus, est la droite de vecteur directeur unitaire le vecteur propre normé u_l associé à la valeur propre de rang l , λ_l , de la matrice des corrélations R
- Un plan factoriel : plan engendré par deux axes factoriels (en général de rangs consécutifs)
- L'ensemble de **tous** les axes factoriels définit un changement de repère orthonormé / repère d'origine du nuage centré $\mathcal{N}(I)$

106 / 164

■ u_2 est la **principale direction d'allongement orthogonale à la première**

↪ Information résiduelle / premier axe

- 1 les individus caractéristiques de cette direction sont les plus loin du centre de gravité dans une direction **orthogonale à u_1**
↪ individus « hors-normes » / certaines variables
- 2 les individus proches en projection sur cet axe devraient être proches dans le nuage original
↪ individus ressemblants / certaines variables

■ u_3 est la **principale direction d'allongement orthogonale aux deux premières**

↪ Information résiduelle / 2 premiers axes

■ ...

108 / 164

Composantes principales

Rappel : les axes du repère original du nuage $\mathcal{N}(I)$ s'identifiaient aux p variables X_1, \dots, X_p

- L'axe déterminé par le vecteur unitaire u_l devrait correspondre à une nouvelle variable C_l

- Une variable C_l n'est connue qu'à travers ses valeurs pour les n individus

↳ **Projection des n individus sur u_l :**

$$C_l = Z u_l \quad l = 1, \dots, p$$

Définition 19 (Composante principale)

Le vecteur de \mathbb{R}^n , $C_l := Z u_l$, est appelé la **composante principale de rang l** .

109 / 164

$$C_1 = \frac{1}{\sqrt{\lambda_1}} \begin{bmatrix} -0,97 Z^{\text{PAO}} + 0,87 Z^{\text{PAA}} - 0,87 Z^{\text{VIO}} + 0,93 Z^{\text{VIA}} \\ -0,61 Z^{\text{POT}} - 0,91 Z^{\text{LEC}} + 0,93 Z^{\text{RAI}} + 0,90 Z^{\text{PLP}} \end{bmatrix}$$

$$C_2 = \frac{1}{\sqrt{\lambda_2}} \begin{bmatrix} -0,13 Z^{\text{PAO}} - 0,41 Z^{\text{PAA}} - 0,19 Z^{\text{VIO}} - 0,24 Z^{\text{VIA}} \\ -0,70 Z^{\text{POT}} - 0,12 Z^{\text{LEC}} - 0,31 Z^{\text{RAI}} + 0,05 Z^{\text{PLP}} \end{bmatrix}$$

$$C_3 = \frac{1}{\sqrt{\lambda_3}} \begin{bmatrix} 0,10 Z^{\text{PAO}} + 0,21 Z^{\text{PAA}} + 0,44 Z^{\text{VIO}} + 0,05 Z^{\text{VIA}} \\ -0,36 Z^{\text{POT}} + 0,02 Z^{\text{LEC}} + 0,16 Z^{\text{RAI}} - 0,10 Z^{\text{PLP}} \end{bmatrix}$$

$$C_4 = \frac{1}{\sqrt{\lambda_4}} \begin{bmatrix} 0,07 Z^{\text{PAO}} + 0,12 Z^{\text{PAA}} - 0,02 Z^{\text{VIO}} - 0,22 Z^{\text{VIA}} \\ -0,04 Z^{\text{POT}} + 0,29 Z^{\text{LEC}} + 0,04 Z^{\text{RAI}} + 0,39 Z^{\text{PLP}} \end{bmatrix}$$

$$C_5 = \frac{1}{\sqrt{\lambda_5}} \begin{bmatrix} 0,12 Z^{\text{PAO}} - 0,11 Z^{\text{PAA}} + 0,10 Z^{\text{VIO}} - 0,14 Z^{\text{VIA}} \\ +0,07 Z^{\text{POT}} - 0,27 Z^{\text{LEC}} + 0,11 Z^{\text{RAI}} + 0,14 Z^{\text{PLP}} \end{bmatrix}$$

TABLE 9: Les 5 premières CP en fonction des variables originales centrées-réduites

111 / 164

$$C_l = Z u_l \quad l = 1, \dots, p \iff C_l = \sum_{j=1}^p u_l(j) Z_j$$

- C_l est une combinaison linéaire des variables originales

- La variable C_l est centrée : $\bar{C}_l = 0$.

- La variance de C_l : on vérifie que

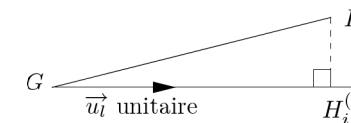
$$s_{C_l}^2 = u_l^\top R u_l = (u_l^\top u_l) \lambda_l$$

$$s_{C_l}^2 = \lambda_l$$

110 / 164

- Plans factoriels \equiv **images approchées** d'un nuage de points
 ? Indicateurs de la qualité de ces images : globaux (pour le nuage)
 locaux (pour « l'individu »)

- **QLT de représentation d'un individu I_i par sa projection sur l'axe factoriel u_l**



$$QLT_l(i) = \frac{d_2(G, H_i^{(l)})^2}{d_2(G, I_i)^2} = \cos(GI_i, u_l)^2$$

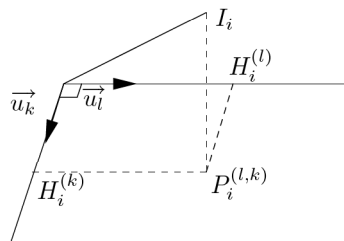
Remarque :

$$QLT_l(i) = \frac{p_i d_2(G, H_i^{(l)})^2}{p_i d_2(G, I_i)^2} = \frac{\text{Inertie projetée de } I_i \text{ sur } u_l}{\text{Inertie de } I_i}$$

112 / 164

■ **QLT de représentation de I_i par sa projection sur un plan (u_l, u_k)**

$$\begin{aligned} \text{QLT}_{l,k}(i) &= \frac{d_2(G, P_i^{(l,k)})^2}{d_2(G, I_i)^2} \\ &= \frac{d_2(G, H_i^{(l)})^2 + d_2(G, H_i^{(k)})^2}{d_2(G, I_i)^2} \\ &= \text{QLT}_l(i) + \text{QLT}_k(i) \end{aligned}$$

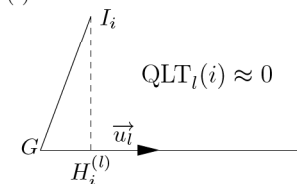


Remarque : $\text{QLT}_{l,k}(i) = \frac{\text{Inertie projetée de } I_i \text{ sur } (u_l, u_k)}{\text{Inertie de } I_i}$

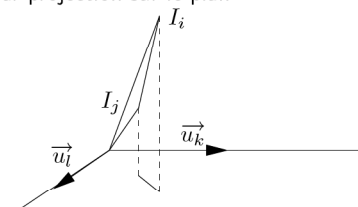
113 / 164

■ **Plus $\text{QLT}(i)$ est proche de 1 plus le point individu est proche de l'axe ou du plan et alors :**

- la distance de l'individu à G (origine) est lisible sur sa projection sur l'axe
Elle ne l'est pas si $\text{QLT}(i) \approx 0$



- la distance entre deux points d'un plan factoriel ne traduit leur distance réelle dans le nuage (i.e. leur ressemblance) que s'ils sont très bien représentés par leur projection sur le plan



114 / 164

■ **Qualité de représentation du nuage $\mathcal{N}(I)$ par les $q \leq p$ premiers axes factoriels u_1, \dots, u_q**

$$\begin{aligned} \text{QLT}_{u_1, \dots, u_q}(\mathcal{N}(I)) &= \frac{\text{Inertie de } \mathcal{N}(I) \text{ projeté sur les } q \text{ premiers axes}}{\text{Inertie de } \mathcal{N}(I)} \\ &= \frac{\sum_{l=1}^q \left[\sum_{i=1}^n p_i d_2(G, H_i^{(l)})^2 \right]}{\text{Inertie de } \mathcal{N}(I)} \\ &= \frac{\sum_{l=1}^q u_l^\top R u_l}{\text{Inertie de } \mathcal{N}(I)} \text{ avec (24)} \\ (25) \quad &= \frac{\sum_{l=1}^q \lambda_l}{\sum_{l=1}^p \lambda_l} = \frac{\sum_{l=1}^q \lambda_l}{p} \end{aligned}$$

Pourcentage d'inertie « expliquée » par les q premiers axes factoriels

115 / 164

Numéro	Valeur propre	Pourcentage d'inertie	Pourcentage cumulé
1	6,2079	77,60	77,60
2	0,8797	11,00	88,60
3	0,4160	5,20	93,79
4	0,3065	3,83	97,63
5	0,1684	2,11	99,73
6	0,0181	0,23	99,96
7	0,0034	0,04	100,00
8	0,0000	0,00	100,00
	8		

TABLE 10: Pourcentage d'inertie expliquée par chacun des axes factoriels

116 / 164

- L'axe factoriel u_l rend maximum
(sous la contrainte d'être orthogonal aux précédents)
l'inertie projetée du nuage sur une droite

- Décomposition de cette inertie point par point :

$$\text{Contr}_l(i) = \frac{p_i d_2(G, H_i^{(l)})^2}{\sum_i p_i d_2(G, H_i^{(l)})^2}$$

Remarques :

- le dénominateur $I_H(\mathcal{N}) = \sum_i p_i d_2(G, H_i^{(l)})^2 = \lambda_l$ (cf Page 25)
- $\sum_i \text{Contr}_l(i) = 1$
- **Quand $p_i = 1/n$ alors**
 $\text{Contr}_l(i) \propto$ (coordonnées)² du point sur l'axe
 \propto QLT_l(i)
 ⇒ aucune information supplémentaire par rapport à
 l'information graphique

117 / 164

	PLAN	AXE1			AXE2		
	QLT(1,2)	COORD	QLT	CTR	COORD	QLT	CTR
Exploit. agri.	0,88	-3,37	0,88	22,9	0,25	0,00	0,9
Salar. agri.	0,91	-3,52	0,90	25,0	0,45	0,01	2,8
Prof. indép.	0,57	1,47	0,57	4,4	-0,06	0,00	0,0
Cadres sup.	0,94	4,36	0,94	38,3	-0,18	0,05	0,4
Cadres moy.	0,94	1,72	0,75	5,9	0,86	0,19	10,4
Employés	0,86	0,86	0,43	1,3	-0,81	0,43	9,3
Ouvriers	0,37	-0,90	0,36	1,6	0,18	0,01	0,5
Inactifs	0,99	-0,56	0,06	0,60	-2,31	0,93	75,6

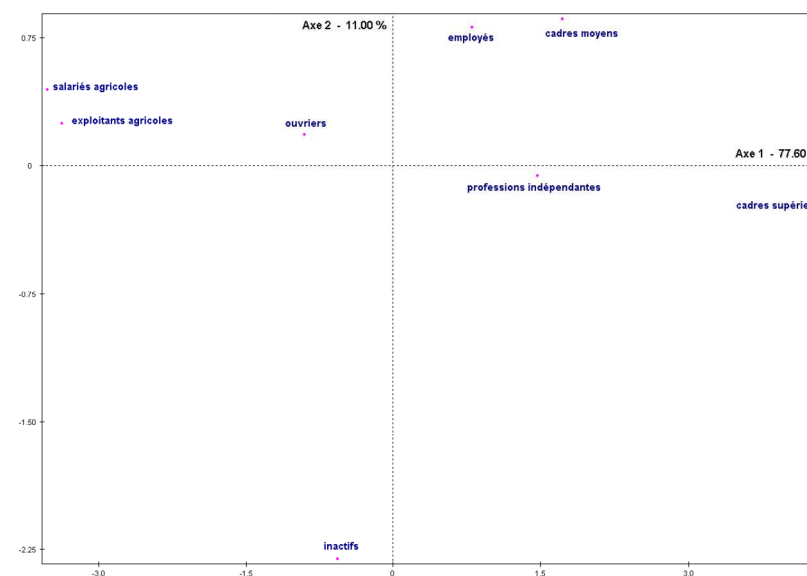
TABLE 11: Nuage des individus projetés sur le premier plan factoriel

119 / 164

- Si $p_i \neq 1/n$ alors

- 1 Repérer les individus qui contribuent très fortement
- 2 Si un seul individu admet une contribution très forte :
 - vérifier si pas d'erreur de mesure
 - il peut être utile de refaire l'analyse sans lui et de le rajouter comme **individu supplémentaire**

118 / 164



120 / 164

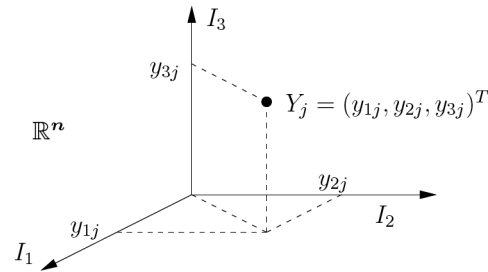


FIGURE 18: Nuage des variables centrées

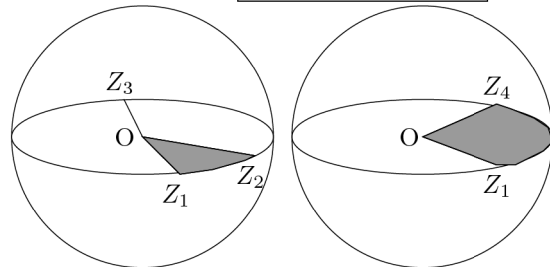
Produit scalaire euclidien :

$$\langle Y_j, Y_k \rangle_{1/s^2} = \sum_{i=1}^n \frac{1}{n} y_{ij} y_{ik} = \frac{1}{n} Y_j^T Y_k = s_{Y_j, Y_k} = s_{X_j, X_k}$$

$$\|Y_j\|_{1/s^2}^2 = s_{Y_j}^2 = s_{X_j}^2$$

$$d^2(Y_j, Y_k) = \|Y_j - Y_k\|_{1/s^2}^2 = \langle Y_j - Y_k, Y_j - Y_k \rangle_{1/s^2}$$

Lecture graphique de la liaison (corrélation) linéaire entre deux point-variables : les angles : $\cos(Z_j, Z_k) = \rho_{z_j, z_k}$



$$\rho_{Z_1, Z_2} \approx 1 \quad \rho_{Z_1, Z_3} \approx -1 \quad \rho_{Z_1, Z_4} \approx 0$$

$$\cos(Z_1, Z_2) \approx 0 \quad \cos(Z_1, Z_3) \approx \pi \quad \cos(Z_1, Z_4) \approx \pi/2$$

$$(\widehat{Z_1, Z_2}) \approx 0 \quad (\widehat{Z_1, Z_3}) \approx \pi \quad (\widehat{Z_1, Z_4}) \approx \pi/2$$

- Les variables Z_1, Z_2 et Z_1, Z_3 sont fortement corrélées
- Les variables Z_1 et Z_4 sont non-corrélées
 ↳ tout repère orthonormé est un repère à base de « variables » non-corrélées deux à deux.

Les variables sont centrées-réduites : $Z_j = Y_j / s_{Y_j}$

- Chaque point-variable Z_j est de variance unité :

$$\|Z_j\|_{1/s^2}^2 = 1$$

i.e. se trouve sur la **sphère unité** (des corrélations)

- $\langle Z_j, Z_k \rangle_{1/s^2} = \frac{s_{Y_j, Y_k}}{s_{Y_j} s_{Y_k}} = \rho_{Y_j, Y_k} = \rho_{X_j, X_k}$
- $\cos(Z_j, Z_k) := \frac{\langle Z_j, Z_k \rangle_{1/s^2}}{\|Z_j\|_{1/s^2} \|Z_k\|_{1/s^2}} = \langle Z_j, Z_k \rangle_{1/s^2}$

$\cos(Z_j, Z_k) = \rho_{z_j, z_k}$

Remarques :

- 1 Les variables sont centrées mais **la nouvelle origine du nuage n'est pas le centre de gravité du nuage original des points variables**

Le centrage des variables

$$\Rightarrow \forall j \quad 0 = \frac{1}{n} \sum_{i=1}^n y_{ij} = \langle Y_j, \mathbf{1}_n \rangle_{1/s^2} \quad (Y_j \perp \text{au vecteur } \mathbf{1}_n)$$

Tous les Y_j (Z_j) sont ainsi dans l'hyperplan orthogonal à la première bissectrice dans le $\mathcal{N}(J)$ original

- 2 Les variables sont de plus réduites
 ⇒ chaque point est à distance 1 de l'origine
 ⇒ distance à l'origine n'a aucun intérêt

- **Projection orthogonale** du nuage des variables sur un sous-espace H
 Le **Nuage projeté** devra restituer le plus fidèlement les liaisons (corrélations) entre les points-variables du nuage d'origine

Cas où H est une droite

- **Rechercher une variable v_1**
 - de variance unité (norme 1)
 - qui maximise la somme des carrés des corrélations entre les variables originales et la nouvelle variable $\sum_{j=1}^p \rho_{Z_j, v_1}^2$

$$\sum_{j=1}^p \rho_{z_j, v}^2 = \sum_{j=1}^p \cos(Z_j, v_1)^2 = \sum_{j=1}^p \langle Z_j, v_1 \rangle_{1/s^2}^2 = \sum_{j=1}^p d_{1/s^2}(O, H_j)^2$$

où H_j est la projection orthogonale de Z_j pour $\langle \cdot, \cdot \rangle_{1/s^2}$ sur la droite engendrée par v_1

- **Rechercher un vecteur unitaire v_1 de la droite H (pour $\langle \cdot, \cdot \rangle_{1/s^2}$) qui réalise**

$$\max \left(\sum_{j=1}^p d_{1/s^2}(O, H_j)^2 \right)$$

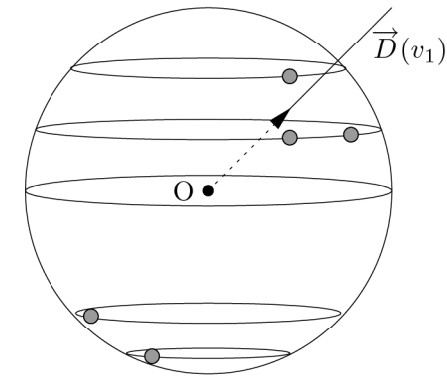
On vérifie que

$$\sum_{j=1}^p d_{1/s^2}(O, H_j)^2 = v_1^\top \left[\frac{1}{n} Z Z^\top \right] v_1$$

- **Déterminer le vecteur $v_1 \in \mathbb{R}^n$ tel que**

$$\langle v_1, v_1 \rangle_{1/s^2} = 1 \quad \text{et} \quad v_1 := \arg \max v^\top \left[\frac{1}{n} Z Z^\top \right] v$$

Interprétation



v_1 direction de plus forte concentration de points

La matrice $Z Z^\top$ est symétrique et semi-définie positive pour $\langle \cdot, \cdot \rangle_{1/s^2}$, alors

Théorème 6

- 1 \mathbb{R}^n admet une base orthonormée pour $\langle \cdot, \cdot \rangle_{1/s^2}$ de vecteurs propres de $Z Z^\top$
- 2 les valeurs propres de $Z Z^\top$ sont positives.

Théorème 7

Le sous-espace $H^{(q)}$ de dimension q de \mathbb{R}^n portant « l'inertie » maximale se calcule par

$$H^{(q-1)} \oplus H_q$$

où H_q est la droite orthogonale, relativement à $\langle \cdot, \cdot \rangle_{1/s^2}$, à $H^{(q-1)}$ portant « l'inertie » maximale.

Théorème 8

la sous-espace $H^{(q)}$ ajustant au mieux le nuage est engendré par les q premiers vecteurs propres (variance unité) $\{v_1, \dots, v_q\}$ correspondants aux q plus grandes valeurs propres de ZZ^T/n

$$\mu_1 \geq \mu_2 \geq \dots \geq \mu_q \geq 0$$

Proposition 2

La matrice $\frac{1}{n}ZZ^T$ et la matrice des corrélations $R = \frac{1}{n}Z^T Z$ ont les mêmes valeurs propres non-nulles (de même multiplicité)

↳ au plus p ($n \gg p$) valeurs propres.

Remarque : Comme $n > p$, le calcul des éléments spectraux des deux matrices de la proposition sera réalisé sur la « petite » matrice des corrélations R (voir Prop 3) ou de covariance si les données ne sont pas réduites.

Définition 20 (variable principale)

On appelle **axe factoriel (ou variable principale) de rang l** du nuage des variables, les vecteurs

$$v_l = \frac{1}{\sqrt{\lambda_l}} C_l \quad l = 1, \dots, p$$

où C_l est la composante principale de rang l

Remarques :

- $(v_l)_l$ famille orthonormée pour $\langle \cdot, \cdot \rangle_{1/s^2}$

orthogonalité \longleftrightarrow non-corrélation
 normé \longleftrightarrow variance unité

- $v_l = \frac{1}{\sqrt{\lambda_l}} \sum_{j=1}^p u_l(j) Z_j$

Axes factoriels

- Soit C_l une composante principale i.e.

$$C_l = Z u_l \quad \begin{cases} u_l \text{ axe factoriel de rang } l \text{ de } I(\mathcal{I}(I)) \\ R u_l = \lambda_l u_l \text{ et } u_l^T u_l = 1 \end{cases}$$

alors

$$\begin{cases} \frac{1}{n} [ZZ^T] C_l = \frac{1}{n} ZZ^T Z u_l = Z \left[\frac{1}{n} Z^T Z \right] u_l = Z R u_l = \lambda_l Z u_l \\ \text{et } s_{C_l}^2 = \lambda_l \end{cases}$$

↳ vecteur unitaire v_l pour $\langle \cdot, \cdot \rangle_{1/s^2}$:

$$v_l = \frac{1}{\sqrt{\lambda_l}} C_l$$

Les p points-variables du nuage $\mathcal{N}(J)$ sont projetés sur l'axe factoriel v_l :

$$F_l := \left(\langle Z_j, v_l \rangle_{1/s^2} \right)_{j=1}^p = \left(\rho_{Z_j, v_l} \right)_{j=1}^p \in \mathbb{R}^p$$

- $|F_l(j)| \leq 1$ pour tout $j = 1, \dots, p$
- Pour toute composante principale C_l :

$$\begin{aligned} \rho_{Z_j, C_l} &= \rho_{Z_j, v_l} = \rho_{X_j, v_l} = \rho_{X_j, C_l} \\ &= F_l(j) \end{aligned}$$

$$\rho_{X_j, C_l} = F_l(j) \quad \forall j = 1, \dots, p$$

Abus de langage : on parle indifféremment de variables ou de composantes principales

Bilan graphique des liaisons : le cercle des corrélations

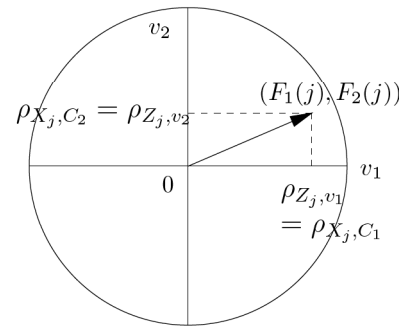
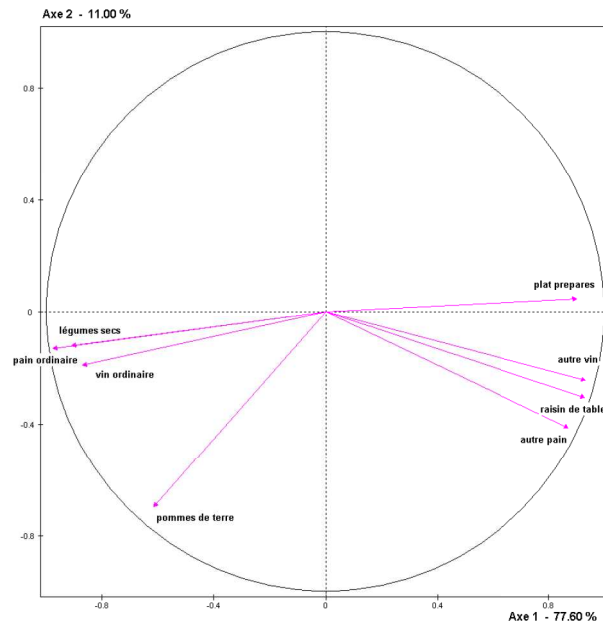


FIGURE 19: « Plan factoriel » 1-2

Liaison entre les variables originales et les variables/composantes principales

Bilan des liaisons linéaires



Variables	Coordonnées sur les variables principales $v_j, j = 1, \dots, 5$				
	v_1	v_2	v_3	v_4	v_5
PAO	-0,97	-0,13	0,10	0,07	0,12
PAA	0,87	-0,41	0,21	0,12	-0,11
VIO	-0,87	-0,19	0,44	-0,02	0,10
VIA	0,93	-0,24	0,05	-0,22	-0,14
POT	-0,61	-0,70	-0,36	-0,04	0,07
LEC	-0,91	-0,12	0,02	0,29	-0,27
RAI	0,93	-0,31	0,16	0,04	0,11
PLP	0,90	0,05	-0,10	0,39	0,14

TABLE 12: Projection du nuage des variables sur les cinq premières variables principales

■ QLT de représentation de Z_j par sa projection sur l'axe v_l

$$QLT_l(j) = \cos(Z_j, v_l)^2 = \rho_{Z_j, v_l}^2 = \rho_{Z_j, C_l}^2$$

où C_l est la CP de rang l

↳ Plus la direction du vecteur Z_j est proche de celle de la nouvelle variable v_l (plus leur corrélation est grande), meilleure est la qualité

■ QLT de représentation de Z_j par ses projections sur le cercle (v_1, v_2)

$$QLT_{v_1, v_2}(j) = \rho_{Z_j, v_1}^2 + \rho_{Z_j, v_2}^2 = \rho_{Z_j, C_1}^2 + \rho_{Z_j, C_2}^2$$

↳ Graphiquement, plus l'extrémité du vecteur représentant la variable Z_j est proche du cercle, meilleure est la qualité

■ QLT de représentation du nuage par les q premières variables principales

$$\begin{aligned} \text{QLT}_{v_1, \dots, v_q}(\mathcal{N}(J)) &= \frac{\sum_{l=1}^q \left[\sum_{j=1}^p \rho_{Z_j, v_l}^2 \right]}{\sum_{l=1}^p \sum_{j=1}^p \rho_{Z_j, v_l}^2} \\ &= \frac{\sum_{l=1}^q \lambda_l}{\sum_{l=1}^p \lambda_l} = \frac{\sum_{l=1}^q \lambda_l}{p} \quad (\text{voir (26)}) \end{aligned}$$

Remarque :

$$\text{QLT}_{v_1, \dots, v_q}(\mathcal{N}(J)) = \text{QLT}_{u_1, \dots, u_q}(\mathcal{N}(I))$$

137 / 164

Résultats d'une ACP normée

- liste de valeurs propres de la matrice des corrélations
- liste d'axes factoriels
 - ↳ liste de graphiques \equiv plans factoriels
bilan des ressemblances entre individus
- liste de variables principales
 - ↳ liste de cercles des corrélations
bilan des liaisons entre les variables
- Indicateurs de qualité de la représentation (de contribution des éléments à la construction des axes factoriels)

139 / 164

On vérifie que

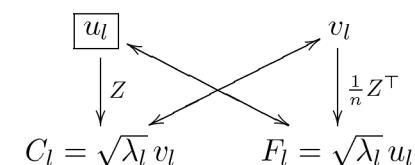
$$F_l = \sqrt{\lambda_l} u_l$$

où u_l est l'axe factoriel du nuage des individus de rang l

- Comme $\|u_l\|_2 = 1$ et d'après la relation ci-dessus, v_l est tel que

$$(26) \quad \sum_{j=1}^p \rho_{Z_j, v_l}^2 = \lambda_l$$

Proposition 3 (Relations de transition)



138 / 164

Deux phases dans l'interprétation d'une ACP

Phase 1 (partie objective)

Bilan des inerties associées aux différents axes factoriels et des corrélations associées aux différentes composantes principales
↳ fondé seulement sur des indices numériques

Phase 2 (partie subjective)

Interprétation proprement dite des axes et composantes principales
↳ fondée en grande partie sur les **connaissances** du problème étudié c.a.d **extérieures** au tableau de données

Éléments pour l'interprétation

140 / 164

Proposition 4

$1 \leq \lambda_1 \leq p = \text{nombre de variables}$

- $\lambda_1 = 1$ lorsque toutes les variables initiales sont non-corrélées deux à deux
 \implies ACP aucun intérêt

Si $\lambda_1 \approx 1$, l'ACP du tableau ne présente pas d'intérêt

- $\lambda_1 = p$ lorsqu'il existe une liaison linéaire parfaite entre toutes les variables

$$j = 1, \dots, p \quad \rho_{x_j, v_1} = \pm 1$$

↳ Plus λ_1 est grande plus v_1 résume les variables et plus v_1 risque d'être intéressante

- Plus d'encadrement pour les valeurs propres suivantes mais la valeur 1 reste un point de repère :
 \implies une valeur propre ≤ 1 indique que la variable principale associée synthétise moins d'information qu'une variable isolée

$$\left(\sum_{j=1}^p \rho_{X_j, v_l}^2 = \lambda_l \text{ et } \rho_{X_l, X_l}^2 = 1 \right)$$

\implies Prudence pour interpréter v_l telle que $\lambda_l \approx 1$

Choix de la dimension de l'espace de visualisation des nuages i.e. nombre de valeurs propres à retenir

- $QLT_{u_1, \dots, u_q}(\mathcal{N}(I)) = QLT_{v_1, \dots, v_q}(\mathcal{N}(J)) = \frac{\sum_1^q \lambda_l}{\sum_1^p \lambda_l}$

Choisir q telle que $QLT_{u_1, \dots, u_q} \geq \text{seuil fixé}$

Règle intéressante pour une utilisation de simple réduction de dimension

- **Règle de Kaiser.**

Ne retenir que les composantes associées à des valeurs propres supérieures à 1

↳ tendance à surestimer le nombre de CP pertinentes

- **Diagramme des valeurs propres :** Rechercher la présence d'un « coude »

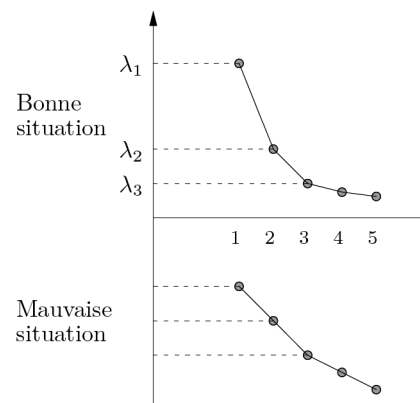


FIGURE 20: graphique représentant la décroissance des valeurs propres

- Si l'ACP est utilisée pour extraire une information la plus riche possible
 \implies **Ne retenir que des variables ou axes interprétables**

- Les axes et CP sont considérés dans l'ordre décroissant des valeurs propres.
- Garder à l'esprit que l'axe au CP d'ordre $l > 1$ traduit les tendances résiduelles non prise en compte par les précédents
- L'ordre proposé \rightarrow phase de découverte
Approfondissement trop lié aux données

Contribution des individus. Coordonnées des individus actifs

Intérêt d'un axe \equiv nombre d'individus concernés

Liste des contributions

Repérer si un ou un très petit nombre d'individus ont une contribution très supérieure à la moyenne.

Si $p_i = 1/n$ alors points loin du centre de gravité et proche de l'axe

- éventuellement remise en cause du champ de l'étude (si l'axe est dans les premiers)
- si après quelques axes alors phénomènes ponctuels / tendances générales

Etude des plans factoriels

- Allure générale de la répartition des individus
Toute plage de faible densité ou forte densité doit être décelée

■ Aider le choix d'individu-type

- ➔ **très bonne qualité de représentation** par les axes concernés et moyenne pour les autres

Coordonnées des variables actives

Rappel en ACP normée : projection d'une variable sur un axe \equiv QLT de représentation et \propto à sa contribution

➔ Étude graphique des cercles

Interprétation par composante

- Recenser les variables actives les plus corrélées à chaque composante
Les var. corrélées > 0 ont une coord. > 0 et celles corrélées < 0 une coord. < 0
- Rechercher un dénominateur commun qui relie les variables situées du même côté et oppose les variables situées de part et d'autre de l'origine

145 / 164

Interprétation par cercle

- Rappel :

proximité de l'extrémité d'un vecteur du cercle \equiv qualité de la représentation

- Les vecteurs joignant l'origine aux points variables permettent de visualiser les **angles** mesurant la liaison entre variables.

Interprétation « conjointe »

La coordonnée de l'individu $N^{\circ} i$ sur l'axe u_l

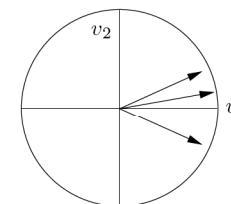
$$C_l(i) = \langle Z_{i.}, u_l \rangle_2 = \sum_{j=1}^p \left[\frac{x_{ij} - \bar{X}_j}{s_{X_j}} \right] u_l(j)$$

et $u_l = \frac{1}{\sqrt{\lambda_l}} F_l$ (cf Prop 3) avec

$F_l(j) =$ coord. de X_j sur la var. principale $v_l = \rho_{X_j, v_l}$

$$\Rightarrow C_l(i) = \frac{1}{\sqrt{\lambda_l}} \sum_{j=1}^p \left[\frac{x_{ij} - \bar{X}_j}{s_{X_j}} \right] \rho_{X_j, v_l}$$

147 / 164

Remarque : facteur « taille » (v_1 en général)

toutes les variables sont corrélées positivement entre elles

- Si pour un individu, une variable prend une valeur forte, toutes les autres prennent également des valeurs fortes
- Si de plus les corrélations sont toutes du même ordre alors

$$v_1 \propto \frac{1}{p} \sum_{j=1}^p Z_j$$

et v_2 différencie alors les individus de « taille » semblable : « **facteur de forme** »

146 / 164

$C_l(i) \gg 0$: pour l'individu i on a, pour certaines variables X_j :

$$\left[\frac{x_{ij} - \bar{X}_j}{s_{X_j}} \right] \rho_{X_j, v_l} \gg 0$$

et pour ces variables X_j on a

$$\begin{cases} \text{soit } x_{ij} - \bar{X}_j \gg 0 \text{ et } \rho_{X_j, v_l} \approx 1 \\ \text{soit } x_{ij} - \bar{X}_j \ll 0 \text{ et } \rho_{X_j, v_l} \approx -1 \end{cases}$$

$$\Leftrightarrow \begin{cases} \text{soit } x_{ij} \gg \bar{X}_j \text{ et } \rho_{X_j, v_l} \approx 1 \\ \text{soit } x_{ij} \ll \bar{X}_j \text{ et } \rho_{X_j, v_l} \approx -1 \end{cases}$$

Ainsi un individu très éloigné du pseudo-individu G selon u_l , l'est, en général, par des scores « extrêmes » pour les variables dont les directions dans le cercle des corrélations, sont très proches de la direction de la variable principale v_l .

De plus, un score positif signifie que les variables concernées « sont du même côté » que l'individu sur l'axe u_l

148 / 164

Un représentation simultanée

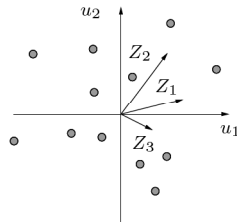
Après analyse du nuage des individus $\mathcal{N}(I)$

- anciens axes unitaires $\{e_j\}_{j=1}^p$ (directions associées aux variables originales)

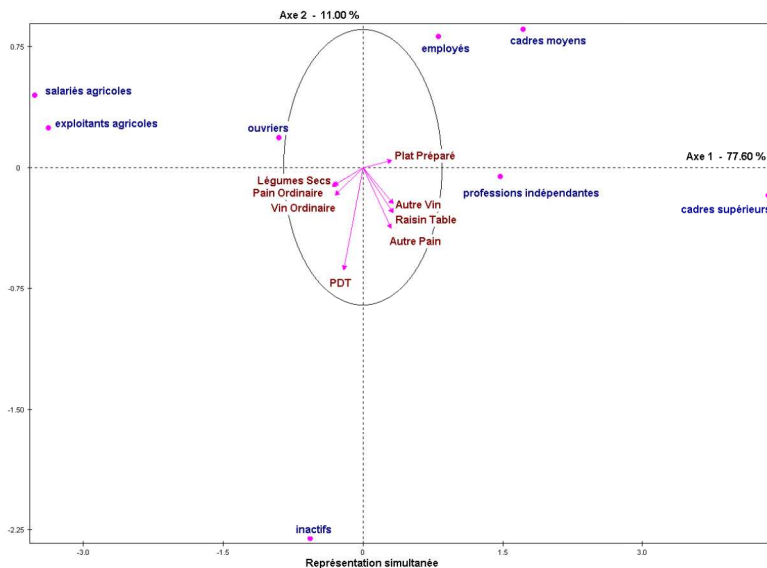
$$e_j = (0, \dots, 0, 1, 0, \dots, 0)^\top.$$

- nouveaux axes unitaires : $\{u_l, l = 1, \dots, p\}$ axes factoriels

Représentation simultanée \equiv représentation des directions associées aux variables originales sur les plans factoriels de $\mathcal{N}(I)$

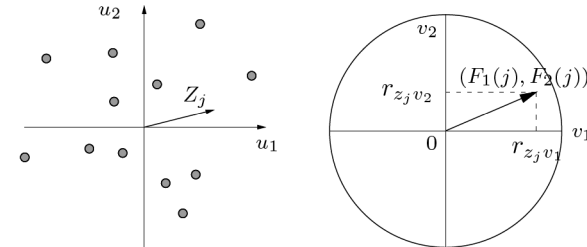


↳ « écrasement » du repère orthonormé initial sur les plans factoriels



- Projection de e_j sur u_l : $e_j^\top u_l = u_l(j)$
- Projection du point variable Z_j sur la variable principale v_l

avec Prop 3 $F_l(j) = \sqrt{\lambda_l} u_l(j) \implies (F_l(j))_l = (\sqrt{\lambda_l} e_j^\top u_l)_l$



- Le nuage des extrémités (des projections) des e_j ds \mathbb{R}^p et le nuage des extrémités (des projections) des Z_j dans \mathbb{R}^n ne diffèrent l'un de l'autre que par une dilatation sur chaque axe de rapport $\sqrt{\lambda_l}$.
- Si les valeurs propres sont presque égales alors la déformation est faible.

Interprétation à partir de la représentation simultanée

- Étudier les positions respectives de deux individus / à l'ensemble de toutes les variables
 - Étudier les positions respectives de deux variables / à l'ensemble de tous les individus
- Enfin, la distance entre deux vecteurs variables ne peut pas être interprétée en termes de corrélation

Individus supplémentaires

- But :
 Vérifier sur ces individus des hypothèses formulées après une ACP sur les individus actifs.
- Mise en oeuvre :
 Positionnement / au centre de gravité du nuage initial en appliquant la même transformation de centrage réduction que pour les individus actifs
 Puis projection sur les axes factoriels

Variables supplémentaires

- Expliquer certaines CP ou affiner les interprétations
- Valider a posteriori
- Et/ou suggérer le réexamen d'une CP délaissée sur la seule vue des variables actives

ACP et l'approximation du tableau de données

- Une décomposition en valeurs singulières de Z

$$\left. \begin{array}{l} u_l \text{ axe factoriel de } \mathcal{N}(I) \\ v_l \text{ axe factoriel de } \mathcal{N}(J) \end{array} \right\} \rightarrow \lambda_l$$

La composante principale $C_l = Z u_l = \sqrt{\lambda_l} v_l$

$$\begin{aligned} \Rightarrow Z u_l u_l^T &= \sqrt{\lambda_l} v_l u_l^T \\ \Rightarrow Z \left[\sum_{l=1}^p u_l u_l^T \right] &= \sum_{l=1}^p \sqrt{\lambda_l} v_l u_l^T \end{aligned}$$

Si $U = [u_1 \cdots u_l \cdots u_p]$, alors $\sum_{l=1}^p u_l u_l^T = U U^T = I$

$$Z = \sum_{l=1}^p \sqrt{\lambda_l} v_l u_l^T$$

Variables continues supplémentaires

Dans le nuage de variables :

distance \equiv corrélation

- On calcule la moyenne et l'écart-type des nouvelles variables
 └ position dans la sphère unité des variables
- Coordonnées \equiv coefficients de corrélations
 entre la variable et les CP

Variables nominales supplémentaires

- Variables à m modalités
 └ m groupes d'individus
- Ces m groupes sont traités comme des individus supplémentaires, chaque groupe étant représenté en général par son centre de gravité

- Conservation des $q < p$ premières valeurs propres :

$$Z \approx Z(q) := \sum_{l=1}^q \sqrt{\lambda_l} v_l u_l^T \quad \text{en } O(qp^2)$$

Théorème 9 (Un théorème d'Eckard-Young)

Les q premiers termes de la décomposition définit une matrice $Z(q)$ qui est la meilleure matrice $n \times p$ (au sens de l'inertie ou encore des moindres carrés) de rang q approchant Z : pour toute matrice A de rang q

$$(27) \quad \|Z - Z(q)\|_{\text{In}} \leq \|Z - A\|_{\text{In}}$$

avec $\|M\|_{\text{In}}^2 := \text{trace}(M^T M) / n$. Enfin l'erreur commise vaut (l'inertie résiduelle)

$$\|Z - Z(q)\|_{\text{In}}^2 = \sum_{l=q+1}^p \lambda_l$$

 GOLUB, G. H. ET VAN LOAN, C. F. (1996).
 Matrix Computations. Ed. 3.
 Johns Hopkins University Press, Baltimore.

ACP ou transformation de Karhunen-Loeve

Exemple 11 (Réduction de canaux : image du satellite SPOT)

- Pour une région donnée, le satellite SPOT fournit 12 images (NB) issues de 12 canaux correspondant à des longueurs d'ondes différentes. Une image est constituée de $293 \times 282 = 82626$ pixels. Pour chaque pixel et chaque longueur d'onde, l'amplitude est codée de 0 à 255.
- Un pixel correspond à un individu et la matrice X des données admet 12 colonnes correspondant aux 12 canaux. On applique une ACP normée sur cette matrice et les valeurs des composantes principales sont recodées de 0 à 255 et on retransforme chaque composante principale en une matrice « image ».
- La première composante principale donne une image NB qui maximise « le contraste ».

Remarque : idée similaire à partir d'une décomposition (RedGreenBlue) d'une image

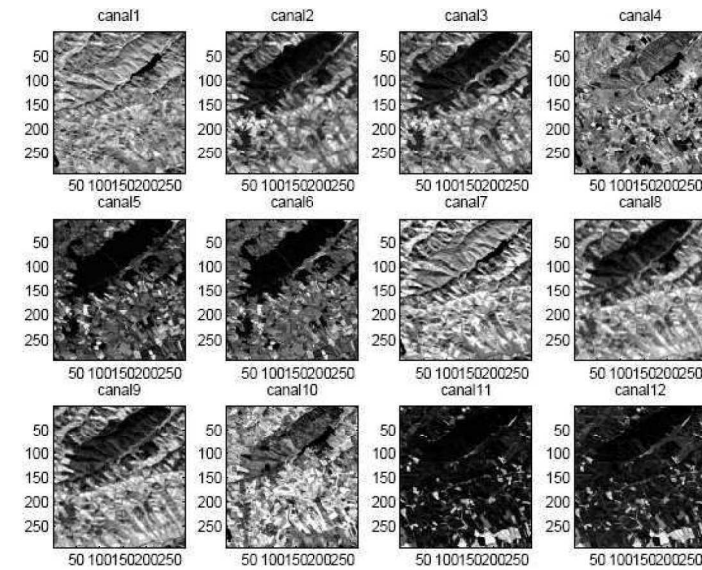


FIGURE 21: Une image via les 12 canaux

Résultats

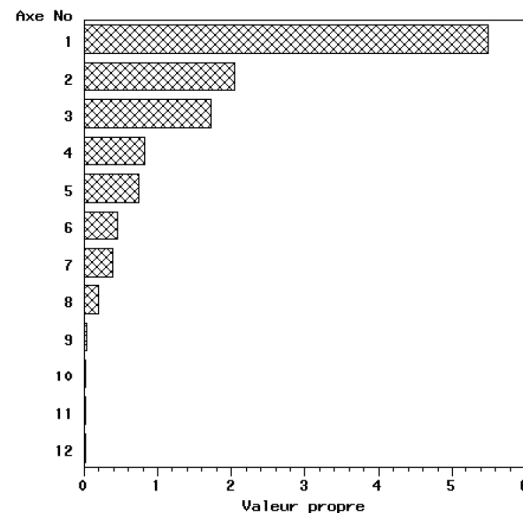


FIGURE 22: Diagramme des valeurs propres

Numéro	Valeur propre	Pourcentage d'inertie	Pourcentage cumulé
1	5.5027	45.86	45.86
2	2.0452	17.05	62.91
3	1.7215	14.35	77.26
4	0.8298	6.92	84.21
5	0.7369	6.14	90.35
6	0.4618	3.85	94.18
7	0.3965	3.31	97.39
8	0.2031	1.70	99.09
9	0.0404	0.34	99.43
10	0.0245	0.21	99.64
11	0.0233	0,20	99.84
12	0.0145	0.12	99.96
	≈ 12		

TABLE 13: Pourcentage d'inertie expliquée par chacun des axes factoriels

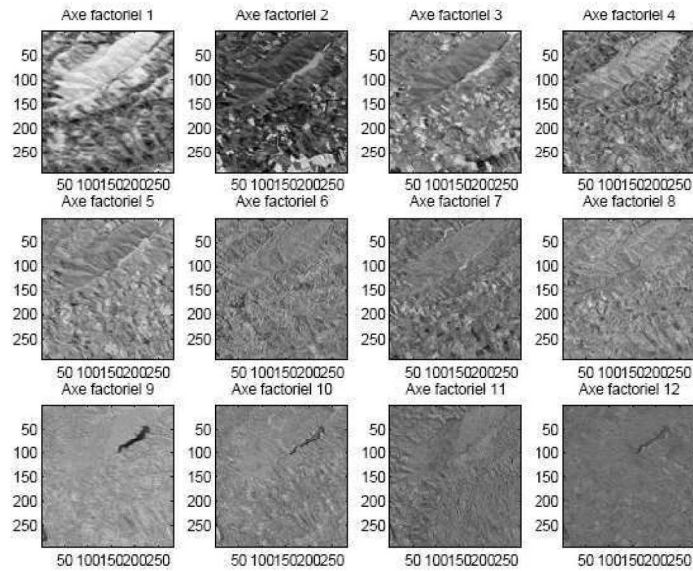


FIGURE 23: les 12 canaux ACP

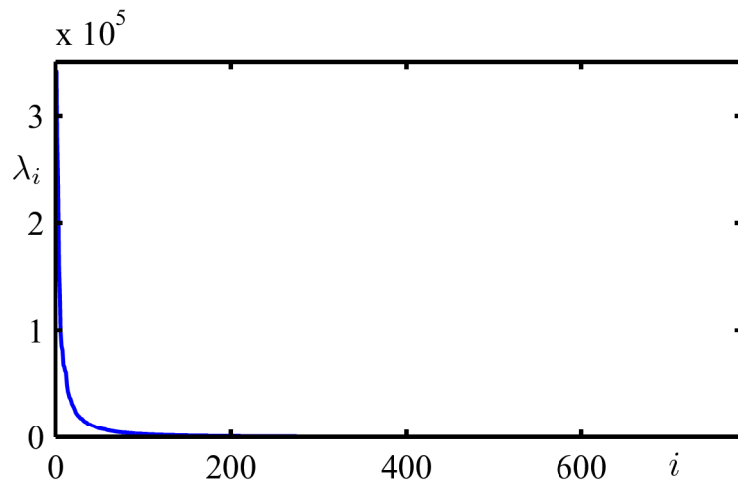


FIGURE 24: « Courbe » donnant les valeurs des valeurs propres

Exemple 12 (Chiffres manuscrits)

- Un jeu de données utilisés dans [LBBH98] est constitué de 70000 images de chiffres manuscrits. Il est lui même extrait d'une base du National Institute of Standard and Technology.
- On se restreint ici aux images du chiffre 3 de 28×28 pixels avec un codage en niveau de gris.
- Chaque individu est donc une image ou un point de \mathbb{R}^{784} .

📄 LECUN Y. ET AL. (1998).
Gradient-Based Learning Applied to Document Recognition
Proceedings of the IEEE. Vol. 86, 2278–2324.

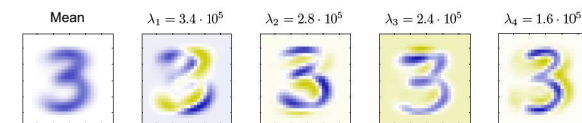


FIGURE 25: Le centre de gravité et les quatre premiers vecteurs et valeurs propres. Les valeurs bleues correspondent à des valeurs positives, les jaunes à des valeurs négatives et 0 à blanc.

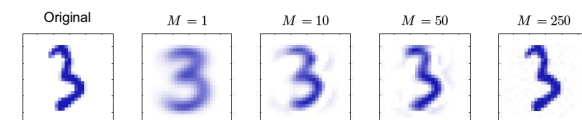


FIGURE 26: Exemple de reconstruction d'un chiffre 3 suivant les valeurs de p